ЭЛЕКТРОТЕХНИКА

Т. Т. АДОНЦ

МЕТОД РАСЧЕТА ПАРАМЕТРОВ ЧЕТЫРЕХПОЛЮСНИКА И УГЛА СДВИГА МЕЖДУ ВЕКТОРАМИ НАПРЯЖЕНИЙ НА ЕГО ЗАЖИМАХ

Целью пастоящей статьи является разработка метода расчета вараметров четырехполюсника и угля панта между векторами напряжений на его зажимах если изпестны абсолютные неличины: нопряжений (модули), активных и реа тивных мощностей на зажимах четырехполюсника. На рис. 1, где показана схема пассивного четырехполюсника, через $P_{\rm k}, Q_{\rm s}, E_{\rm s}, P_{\rm s}, Q_{\rm s}$, с обозначены заданные (навестные) величны активной, реактивной мощностей и илпряжений на зажимах ${\rm k}^{\rm s}$ и ${\rm k}^{\rm s}$ четырехполюсника. Искомыми (неизвестными) величивами служат собственные

$$Z_{11} = r_{11} + jx_{11} = z_{11}$$
 $Z_{12} = r_{11} + jx_{22} = z_{12}$ и взаимный $z_{22} = r_{12} + jx_{12} = z_{22}e$ (1)

комплексные сопротивления четырехполюсника, а также угол сдвига между векторами $E_{\rm w}$ и $E_{\rm m}$, отсчитываемый от $E_{\rm w}$, обозначенный на рис. 1 через $\sigma_{\rm max}$. Отличительной особенностью поставленной задачи является то, что принимаются неизвестными не только параметры четырехполюсника, но и угол сдвига между векторами напряжений, действующих на его зажимах. В такой постановке задача о четырехполюсниках рассматривается впервые.

Для получения исходных уравнений, обеспечивающих решение поставденной задачи, воспользуемся уравнениями четырехполюсника, авписываемыми, согласно схеме рис. 1, в следующем виде:

$$\dot{I}_{4} = \frac{\dot{E}_{4}}{Z_{11}} - \frac{\dot{E}_{4}}{Z_{12}}$$

$$\dot{I}_{4} = -\frac{\dot{E}_{4}}{Z_{11}} + \frac{\dot{E}_{4}}{Z_{41}}$$
(2)

Такая форма записи уравнений четырехполюсника, хотя и отличается от формы, известной из теории цепей, но является общепринятой в литературе по теории электрических систем. Уравнения (2) могут быть представлены и в следующем виде:
3 Изв. ТН. № 6, 57

$$\dot{E}_{\text{K}} = AE_{\text{M}} - B\dot{I}_{\text{M}},$$

$$\dot{I}_{\text{K}} = C\dot{E}_{\text{M}} - D\dot{I}_{\text{M}},$$
(3)

где A, B, C. D — пяраметры четырехнолюсника, равные:

$$A = \frac{Z_{21}}{Z_{22}} \cdot B = -Z_{21} D = \frac{-Z_{21}}{Z_{11}} C - \frac{Z_{21}Z_{12}}{Z_{11}Z_{22}Z_{12}}.$$

Выбор формы уравнений четырехполюсника в виде системы (3) и знаков минус перед $I_{\rm w}$ и $E_{\rm w}$ в системе (2) продиктован соображениями построения расчетного аппарата применительно, в первую очередь, к решению задач по режимам электроэпергетических систем, когда четырехполюсник является общей нагрузкой для питающих его двух источников энергии. Для приведения расчетных выкладок статьи к формам записи, принятым в геории четырехполюсников, достаточно произвести следующие подстановки:

$$Z_{11} = \frac{1}{Y_{11}}, Z_{12} = -\frac{1}{Y_{12}}, Z_{22} = \frac{1}{Y_{22}}, Z_{21} = -\frac{1}{Y_{21}},$$
 (3a)

Уравнения (3) могут быть преобразованы и представлены как уравнения мощностей на зажимах четырехполюсника:

$$S_{x} = i_{x} E_{x} = \frac{E_{x}}{Z_{11}}$$

$$S_{x} = i_{x} E_{x} = \frac{E_{x}}{Z_{12}} e^{\frac{\pi z_{11}}{Z_{12}}} - \frac{E_{x} E_{x}}{Z_{x}} e^{\frac{\pi z_{12}}{Z_{12}}}$$
(4)

В рассматриваемом случае принимается $Z_{12}=Z_{24}$. Ниже рассматриваются отдельно случан симметричного и несимметричного четырехполюсников.

1. Случай симметричного четырехполюсника

1. В качестве исходных уравнений, подлежащих решению, рассматриваются следующие уравнения (1), записанные для двух отличающихся друг от други режимов электропередачи:

$$P_{u1} + jQ_{u1} = \frac{E}{Z_{11}} e^{-it} \frac{E_{1}}{Z_{12}} e^{-it} \frac{E_{1}}{Z_{12}}$$

$$P_{u1} + jQ_{u2} = \frac{E_{1}}{Z_{22}} e^{-it} \frac{E_{1}}{Z_{12}} e^{-it} \frac{E_{1}}{Z_{12}}$$

$$P_{u1} + jQ_{u2} = \frac{E_{1}}{Z_{22}} e^{-it} \frac{E_{1}}{Z_{12}} e^{-it} \frac{E_{1}}{Z_{12}} e^{-it} \frac{E_{1}}{E_{12}}$$

$$P_{u2} + jQ_{u2} = \frac{E_{u1}}{Z_{22}} e^{-it} \frac{E_{1}}{Z_{12}} e^{-it} \frac{E_{1}}{E_{12}} e^{-it} \frac{E_{1}}{E_$$

Здесь искомыми янляются величины: $Z_{11}=z_{11}$, $z_{11}, Z_{12}=z_{12}$, z_{12} и два угла $c_{\text{мы}1}$ и — 1. е. всего четыре неизвестных. Исходная система (5) содержит четыре комилексных уравнения. Для рассматриваемого случая симметричного четырехполюсника — имеет место $A=\Pi$, или Z_{11} . Такое ограничение налагается из-за того, что в число неизвестных, подлежаних определению, входят углы между векторами напряжений, т. с. — и b_{n-2} , которые в обычных задачах синтеза четырехполюсников принимаются известными. В статье для индексов углов в принято следующее правило $c_{\text{мы}}=-c_{\text{км}}$ (5a).

Системи уравнений (6) имеет единственное решение при условии соблюдения хотя-бы одного из следующих неравенств:

$$P_{\text{al}} = P_{\text{a2}}; \quad P_{\text{ml}} \neq P_{\text{m2}}; \quad Q_{\text{kl}} \neq Q_{\text{k2}}$$

$$Q_{\text{ml}} = Q_{\text{ml}}; \quad E_{\text{m2}}; \quad E_{\text{m1}} = E_{\text{m2}}.$$
(6)

Выбор режимов электропередачи, по данным которых произволится расчет нараметров четырехнолюсника, или, говоря иначе, выбор какого-либо из неравенств (6) или нескольких из них, зависит от характера решаемой задачи, из числа перечисленных в конце статьи задач.

Так, например, при решении задячи о параметрах коронирующей высоковольтной линии электропередачи желателен выбор режимов с соблюдением условий $E_{\rm el}=E_{\rm m},\,E_{\rm vl}=E_{\rm w2}.\,$ Для получения-же зависимости параметров коронирующей линии от уровня напряжения или граднента потенциала на проводах достаточно для каждого из уровней напряжения выбирать два режима, для которых соблюдается хотя бы одно из первых четырех неравенств (6).

- 2. В результать решения системы уравнений (5) получаются:
- а. Выражения для вычисления собственных сопротинлений симметричного четырехполюсника

$$z_{11} = z_{22} = \sqrt{\frac{Y_1^2 + Y_2^2}{Y_3^2 + Y_4^2}},$$
 (7)

$$tg\varphi_{11} = tg\varphi_{21} = \frac{Y_1Y_4 - Y_2Y_3}{Y_1Y_2 + Y_2Y_4},$$
 (8)

$$I_{1} = \frac{1}{E_{\text{M1}}^{2}} \quad E_{\text{M2}}^{2} \quad E_{\text{M1}}^{2} \quad \frac{P_{\text{M2}}}{E_{\text{M2}}^{2}} :$$

$$Y_{1} = \frac{Q_{\text{M3}}}{E_{\text{M2}}^{2}} \quad \frac{Q_{\text{M1}}}{E_{\text{M1}}^{2}} \quad \frac{Q_{\text{M2}}}{E_{\text{M2}}^{2}} :$$

$$\frac{P_{\text{M1}} P_{\text{M1}} - Q_{\text{K1}} Q_{\text{M1}}}{E_{\text{M1}}^{2} E_{\text{M1}}^{2}} \quad \frac{P_{\text{M2}} Q_{\text{M2}}}{E_{\text{M2}}^{2} E_{\text{M2}}^{2}} :$$

$$\frac{P_{\text{M1}} Q_{\text{M1}} + P_{\text{M1}} Q_{\text{M1}}}{E_{\text{M1}}^{2} E_{\text{M2}}^{2} E_{\text{M2}}^{2}} = \frac{P_{\text{M2}} Q_{\text{M2}} + P_{\text{M2}} Q_{\text{M2}}}{E_{\text{M2}}^{2} E_{\text{M2}}^{2}} :$$

 Выраження для вычисления взаимного сопротивления четырехполюсника

 $Z_{13} = \frac{Z_{23}E_{31}E_{31}}{\sqrt[4]{\Delta}}, \quad (9)$

T III IP

$$\Delta = [2E_{\rm kl}^2 (P_{\rm kl} r_{22} - Q_{\rm kl} x_{22}) - E_{\rm kl}^4 - S_{\rm kl}^2 + E_{\rm kl}^4 - E_{\rm kl}^4 + E_{\rm kl}^2 + E_{\rm kl}^4 +$$

$$\frac{Z_{22}^{2}(P_{u1}|Q_{u1} + P_{u1}Q_{u2}) - E_{u1}^{2}v_{3}}{(E_{u1}^{2} - E_{u1}^{2})^{2} \sin 2z_{22}} = \frac{Z_{22}^{2}(P_{u1}|Q_{u1} + P_{u1}Q_{u2}) - E_{u1}^{2}v_{3}}{v_{3}v_{4} - 2|Q_{u1}Q_{u}|} \frac{(E_{u1}E_{u1})^{2} \sin 2z_{22}}{(E_{u1}E_{u1})^{2} \sin^{2}z_{23}|} = \frac{Q_{u1}E_{u2}}{(10)}$$

$$v_{1} - Q_{u1}x_{2}, \quad P_{u1}x_{22}; \quad v_{2} = Q_{u1}x_{23} - P_{u1}F_{23};$$

$$v_{3} = Q_{u1}F_{22} + P_{u1}X_{22}; \quad v_{4} = P_{u3}X_{22} - Q_{u1}F_{22}$$

в. Выражения для вычислевия угла сдвига между векторами

Угол сдинга 6_{мі} — и первом режиме электропередачи

$$\cos \delta_{\text{RMI}} = \frac{E_{-1}z_{+}}{E_{\text{MI}}} \left[\frac{1}{z_{+}} \cos \left(z_{+2} - z_{+} \right) - Y_{\text{N}} \cos \left(z_{+2} - z_{+} \right) \right]. \tag{11}$$

$$tg\psi_{\text{NI}} = \frac{Q_{\text{NI}}}{P_{\text{MI}}} - Y_{\text{MI}} = \frac{\sqrt{|P_{\text{NI}}^2| + Q_{\text{NI}}}}{E_{\text{MI}}^2}$$

где

Угол сдвига выше — во втором режиме электропередачи

$$\cos \frac{1}{E_{\pi}} \left[\frac{1}{1} \cos \left(\varepsilon_{12} - \varepsilon_{11} \right) - Y_{\kappa 2} \cos \left(\varepsilon_{12} - \psi_{\kappa 2} \right) \right] \tag{12}$$

где

$$Y_{\kappa 2} = \frac{Q_{\kappa 2}}{P_{\kappa}}; \quad Y_{\kappa 2} = \frac{|P_{\kappa 2}^2 + Q_{\kappa 2}|}{E^2}.$$

По найденным величинам $Z_{11},\ Z_{12}$ легко определяются параметры элементов схем замещения четырехполюсника (Т , Γ I-образные или мостовые схемы). Так например, параметры Т-образной схемы замещения четырехполюсника определяются полученным решением по формулам:

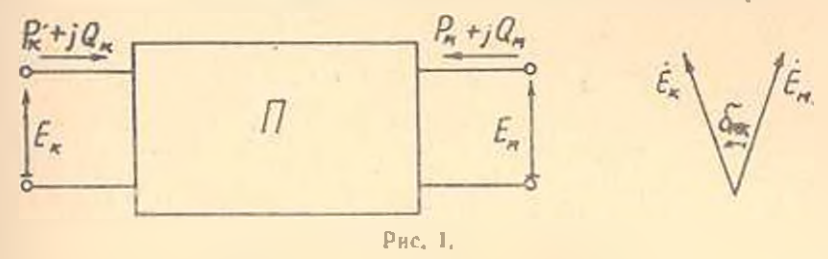
$$Z_{\kappa} = Z_{11} = Z_{12} \frac{Z_{12} - Z_{11}}{Z_{12} - Z_{11}Z_{12}}$$

$$Z_{\kappa \kappa} = \frac{Z_{11}Z_{12}Z_{12}}{Z_{12} - Z_{11}Z_{12}}$$
(13)

Здесь $Z_{\mathbf{x}}$ — сопротивление илеча на стороне станции К.

3. Числовой пример, иллюстрирующий расчет, по предлагаемым формулам, приводится ниже

А. Для концов линии передачи (станции К и М), представляемой схемой по рис. 1. известны следующие исходные для расчета ве-



личины: напряжение (E), активная (P) и реактивная (Q) мощности в двух (1 и 2) отличающихся друг от друга режимах электропередачи. Расчеты проводятся для трех отдельных случаев, каждый из которых представляется двумя режимами.

Исходные данные сведены в таблицу 1.

Таблина 1

					Слу	ч а в		
Стан-	Вели- чины	Расмер-	1 режим		11 режим		111	
FIITE							режим	
			1	2	1	2	1	2
К	E ₀	KH,	420	395	420	415	393	395
	P_n	мгит	429,9	130,4	754.9	553,9	757,1	776
	Q_{b}	игвар	194,7	-231,1	93	-133.4	322	447,6
- 55	Eu	RE.	112	350	412	415	380	350
	Pia	wrat	-411,3	-125,6	698,8	525,9	-678,9	-692,1
	Qu	мгаар	163,5	-252,1	162,4	58,2	374.6	501,5

Б. Результаты вычислений по формулам (7) и (8) величии совротивления Z_{22} и угла z_{22} для линии электропередачи, данные о режимах которой представлены в табл. 1, приводятся ниже в таблице 2.

Тоблина 2

Случан	Y 1	Y :	Y ₃	Y4	299	Υ25
Случан	×10 ⁻⁴	×10-4	10 ,6	×10-6	OM	град.
1	0,43	11,61	3,64	0,49	316,3	84135
11	-0,45	25,92	8,19	0,66	315,4	84 24
ш	-1,15	-16,84	5,28	0,85	315.6	84°50′

В четырехполюснике, для которого ведется расчет, величины Z₁₁ и ϕ_{22} равны, соответственно, 315 ом и 84 25'. Таким образом, погрешности в расчете находятся в допустымых пределах. В. Аналогично, пользуясь исходными данными табл. 1 по формулам (9) и (10) вычисляются величины полного сопротивления z_{12} и угла φ_{12} . Результаты вычислений представлены в таблице 3

Ταδριμία 3

C	v _I	Ug.	ייט	e ₄	4	7(1	Ŷ1 3
Случан	×1010	×1010	×1010	101	1044	OM	град.
1	-7,43	3,55	14,04	-13,39	48,96	208,4	86*21
11	0,57	7,25	23,95	-21,4	48,95	206,4	961211
111	9,31	13,54	24,32	-20,12	25,67	206	86 26'

В рассчитываемом четырехполюснике, действительно, z_{12} =206 ом и = 86°26′, что совпадает с результатами таблины 3.

1. Величины углов сдвига $a_{\text{км1}}$ (для режимов 1) и (для режимов 2) между векторами E_{r} и \dot{E}_{m} , вычисленные по формулам (12) и (13), представлены и габлице 4.

Таблица 4

Случан	21 (OS (712-722)	CON(911-911)	cov 311 - 412	Soil	New 2
1	0,6534	-0,3557	-0,5359	305	10"
11	0,6531	0,1937	-0,1731	60"	401
111	0,6531	0,4179	0,5471	St)"	90*

В правильности предлагаемых расчетных формул можно убедиться путем производства обратных вычислений нахождений: P_{κ} , по формулам (5), используя в них найденные: z_{12} , z_{22} , z_{22} , z_{23} , z_{24} , z_{25} ,

В результате такого расчета получаются исходные данные таблицы 1.

Случай несимметричного четырехполюсника

Уравнения 15). дополненные следующими уравнениями (14), записанными для третьего отличающегося от первых двух режимов электропередачи, представляются инже в качестве исходных подлежащих решению для случая несимметричного четырехполюсника

$$P_{k3} - jQ_{k3} = \frac{e^{j\varphi_{11}} - e^{j}}{1} - \frac{e^{j}}{2} = \frac{e^{j\varphi_{21}}}{2} - \frac{E_{k3}E_{k1}}{2} e^{j(\delta_{kk3} + \varphi_{12})}.$$
(14)

В системе из шести уравнений (5) и (14) искомыми являются три комплексных величины: $Z_{11}=\dots Z_{2}=z_{12}$ φ_{12} $Z_{22}=z_{22}$ φ_{22} и три величины: $\delta_{\text{мк2}}$, $\delta_{\text{мк2}}$, $\delta_{\text{мк2}}$ углоя сдвига между векторами напряжений на зажимах четырехнолюсника и трех режимах электропередачи. В отличие от случая семметричного четырехнолюсника, здесь

Условия (6), обеспечивающие единственность решения системы уравнений (5), зополняются, для случая несимметричного четырехнолюсника условием соблюдения еще хотя-бы одного из следующих неравенств:

$$P_{\text{M1}} \neq P_{\text{M3}}; \quad Q \neq Q_{\text{M1}}$$
 (15)
 $Q_{\text{M1}} = Q_{\text{M5}}; \quad E_{\text{M}} = E_{\text{M3}}; \quad -$

Соблюдение двух каких-либо неравенств из числа (5) и (15) означает, что грв исходных режима электронередачи должны отличаться друг от друга неравенством: или напряжений, или активной или реактивной мощностей, или их сочетанием.

- 2. В результате решения системы уравнений 5) и (14) получаются:
- а. Выражения для вычисления собственных и взаимного сопротивлений несимметричного четырехполюсияма

$$Z_{u1} = \frac{\Delta}{Y_{u1}Y_{u3}(Y_{u1} - Y_{u3})} \frac{\Delta}{Y_{u1}} \frac{Y_{u1}Y_{u2}Y_{u3}(Y_{u3} - Y_{u2})}{(16)}$$

$$Z_{u1}Y_{u1}(Y_{u2} - Y_{u3}) + Y_{u2}Y_{u2}(Y_{u3} - Y_{u1}) + Y_{u3}Y_{u3}(Y_{u1} - Y_{u2})$$

$$Z_{u2}^{2} = \frac{Z_{u2}^{2}}{(Y_{u1}Z_{11} - 1)(Y_{u1}Z_{22} - 1)}$$

$$Y_{u1}Y_{u2}Y_{u3}(Y_{u3} - Y_{u2}) + Y_{u2}Y_{u2}Y_{u3}(Y_{u3} - Y_{u1}) + Y_{u3}Y_{u3}(Y_{u1} - Y_{u2})$$

$$Z_{u2}^{2} = \frac{Z_{u2}^{2}}{(Y_{u1}Z_{11} - 1)(Y_{u1}Z_{22} - 1)}$$

$$Y_{u1}Y_{u2}Y_{u3}(Y_{u3} - Y_{u2}) + Y_{u2}Y_{u3}(Y_{u3} - Y_{u1}) + Y_{u2}Y_{u3}(Y_{u3} - Y_{u2})$$

$$Z_{u2}^{2} = \frac{Z_{u2}^{2}}{(Y_{u3}Z_{11} - 1)(Y_{u1}Z_{22} - 1)}$$

$$Y_{u2}Y_{u3}(Y_{u3} - Y_{u2}) + Y_{u2}Y_{u3}(Y_{u3} - Y_{u1}) + Y_{u2}Y_{u3}(Y_{u3} - Y_{u2})$$

$$Z_{u2}^{2} = \frac{Z_{u2}^{2}}{(Y_{u3}Z_{11} - 1)(Y_{u1}Z_{22} - 1)}$$

$$Y_{u2}Y_{u3}(Y_{u3} - Y_{u2}) + Y_{u2}Y_{u3}(Y_{u3} - Y_{u1}) + Y_{u3}Y_{u3}(Y_{u3} - Y_{u2})$$

$$Z_{u3}^{2} = \frac{Z_{u3}^{2}}{(Y_{u3}Z_{11} - 1)(Y_{u3}Z_{22} - 1)}$$

$$Z_{u3}^{2} = \frac{Z_{u3}^{2}}{(Y_{u3}Z_{11} - 1)(Y_{u3}Z_{22} - 1)}$$

Здесь индексы при Y, 4, P, Q, E берутся одинаковыми из сочетания индиксов зажимов четырехполюсника к, м и режимов 1, 2, 3, используемых в системах уравнений (5) и (14)

- \hat{Z} величиня, сопряженная комплексу Z=r+jx.
- 6. Выражения для вычисления углов между векторами напряжений на зажимах четырехполюсника в режимах 1 и 2 в форме (11) и (12). Для вычисления угла сдвига между этими же векторами в режиме 3 электропередачи используется следующее выражение:

$$\cos a_{\text{MK3}} = z_{12} \frac{1}{I_{\text{Md}}} \left[\frac{1}{I_{\text{Md}}} \cos (\phi_{11} - \phi_{12}) - Y_{\text{K3}} \cos (\phi_{\text{K3}} - \phi_{12}) \right], \tag{17}$$

$$Y_{k3} = \frac{1 P_{k3} - Q_{k3}^2}{E_{k2}^2}$$

Параметры элементов схемы замещения четырехполюсника определяются по найденным величинам $Z_{11},\ Z_{12},\ Z_{32}.$ Так, например, нараметры Т-образной схемы замещения в случае песимметричного четырехполюсника определяются формулами (13) и следующей (18)

$$Z_{13}Z_{13} = \frac{Z_{13} - Z_{22}}{Z_{12} - Z_{12}} \tag{18}$$

Z— сопротивление влеча на стороне станции М.

Числовой пример.

Для несимметричного четырехполюсника (по рис. 1) известны (табл. 5) следующие данные о грех различных его режимах электропередачи между станциями к и М.

Таблица 5

6	Вели	и п п в	Размеры		
Станция	обозначения	размерность	1	2	3
К	Eh PH Oh	кв мгит мгнар	420 291,7 247,1	415 643,1 17,9	395 654 — 90
M	E _M P _M	Mrnap Mrnap	412 134.9 879.6	405 -44,4 -1109,7	350 450,5 1078,2

Согласно формулам (16) определяются следующие, сначала, промежуточные для расчета величины и представленные в таблице 6:

Таблица о

Величины	Медуль ×10−4	Аргумент в град.	Дейст, часть ×10-4	Маим. часть ×10 ⁻⁴
\dot{Y}_{k1}	21,67	40,28	16,51	<i>j</i> 14,01
1782	37,34	1,6	37,34	j 1,04
$\dot{F}_{\kappa 3}$	42,32	352,1	41,20	-j 5,77
$\Sigma_{\rm M1}$	52,41	261,3	7,95	—j 51 ₁ 93
3 M2	73,21	247,4	-29,13	- <i>j</i> 67,6
Y _M 3	81,79	245,96	-33,27	-j 74,67

Результаты расчета искомых параметров четырехполюсивка, вычисленные по формулам (16), принодится ниже в таблице 7.

Tabauua 7

Везнинкы	в омах В омах	Действи- тельная часть	Минмая часть
Z ₁₁ Z ₂₁ Z ₁₈	319,0 102,4 206,9	31,54 12,19 —204,00	/ 216,49 / 101,64 / 30,90

Г. Углы сдвига между векторами напряжений на зажимах (К. М.) четырехполюсника и его трех (1, 2, 3) режимах электропередачи, вычисленные по формулам (11, (12) и (17), оказались равными:

$$a_{\text{max}} = 20.50^{\circ}; \quad a_{\text{max}} = 49.5 ; \quad a_{\text{max}} = 60.55^{\circ}.$$

Возможные случан практического применения предлагаемого метода расчета

Метод расчета параметров симметричного и несимметричного четырехполюсников и углов сдвига между векторами напряжений на зажимах четырехполюсника по заданным рабочим режимам электропередачи может получить применение для решения целого ряда задач, встречающихся в практике эксплуатации энергосистем и в экспериментальных научно-исследовательских работах в области расчета и синтеза электрических цепей. Перечислим некоторые из таких задач.

- 1. Построение схемы замещения коронирующей высоковольтной линии электропередачи (ЛЭП) в рабочих режимах ее эксплуатации при произвольных изменениях: потоков энергии, напряжений и углов сдвига между векторами напряжений на концах ЛЭП.
- 2. Определение нараметров четырехнолюсника по данным рабочих режимов его работы, взамен используемого в таких случаях известного метода опытов холостого хода и коротких замыканий".
- 3. Определение состояния загрязненности изоляции высоковольтных ЛЭП путем вычислений поперечной проводимости ЛЭП.
- 4. Определение дискретных значений параметров пелинейного четырехнолюсника и построение на их основе характеристики зависимости параметров от напряжения или тока, обусловливающих неланейность.
- 5. Вычисление углов сдвига между векторами напряжений на концах ЛЭП.

Числовые примеры расчета выполнены Э. Джангировой

Лаборатория электротехники

АН Армянской ССР

Поступило 7.Х. 1957 г.

\$. ԱԳՈՆՑ

ՔԱՌԱՔԵՎԵՌԱԿԻ ՊԱՐԱՄԵՏՐԵՐԻ ԵՎ ՆՐԱ ՄԵՎՄԱԿՆԵՐԻ ՎՐԱ ԼԱՐՄԱՆ ՎԵԿՏՈՐՆԵՐԻ ՄԻՋԵՎ ԵՂԱԾ ՄԱՀՔԻ ՍՆԿՅԱՆ ՀԱՇՎԱՐԿԻ ՄԵՐՈԳԸ

Ամարոտիում

Նևրկա հոդվածի հոդինակը նպատակ է դրհլ ստհղծևլ թառաբևեռակի պարաժետրերի և նրա սեղժակների լարժան վեկտորների միջև եղած սահթի անկրան հաշվարկի մեխող. եխև հայանի են լարումների (մողույների), ակտիվ և ռևակտիվ հղորախկանների թառաբևեռակի բացարձակ մեծուխլունները սեղմակներում։

$$Z_{11} = r_{11} + jx_{11} = -e^{jz_1}.$$

$$Z_{22} = -i + jx_{22} = z_{22} \cdot e^{jz_2}.$$
 It is shallown in Proposition for the state of t

թառարհեսակի կոմպլհ թատ և գիմադրա թկանները, ինչպես և E_u և E_u վեկ-տորների միջև եղած սահքի անկլունը, հաշված E_u -ից, որ պատկերված է նկ. 1-ում δ_{xx} -ով։

Առաջադրված խնդիրը ընհարկվամ և սիմետրիկ և ոչ սիմետրիկ բառաբևեսակի համար։ Այդ խնդրի լածամր ապահովող հավասարումները ներկարացված են (5) ձևով սիմետրիկ և (5) և (14) ձևերով ու սիմետրիկ ըստարևեսակի համար։ Մնդրի լածումները տրված են հաչվարկային բանաձևերի տևորով, համապատասիսանարար (7) — (12) սիմետրիկ և (16) (17), (11), (12) ոչ սիմետրիկ բառարհեսակների համար։

Առաջարկվող մեկնոդը կարող է գործնական կիրառում գտնել մի շարբ պրակտիկ իներիրների լուծման համար, այդ Մայան հետևչայների համար

- եր գտղութով։ գրիրոսերբեր դիմը բմաց ռույեր արվեսուրդեր վաղտեսվուր փոփոխում էրբեւ գիտքի չունիսի։ Լանուղջրեր բամանոկուր ձգրեր գտներերը հանուղջրեր որորդանի կաստնում բնա Հաչամունգար աշխատարքնակը սիսիսիում քարուղջրեր լ- բերիանաչումսեսկար իսևորանրով հանդեսովուտ մգի արժախակութ
- Հ Կառարհեռակի պարամեարերի որոշումը ըստ Նրա աշխատանքային ոեժիմների ավլալների, նման դեպքերում օդատղործվող այրնի «պարապ ընթացրի փորձերի և կարձ միացումների մեթեուի» փոխարեն։
- 3. Իարձրավոլու էլևկտրահաղորդման դունրի մեկասացման ադտավորվածության վիճակի որոշումը։
- 4. Ոչ-գծալին ըստարհետակի պարումեարհրի դիսկրետ նշանակութելունների որոշումը և նրանց հիման վրա ոչ-դծալնութելունը պայմանավորող լաթուսից կամ հոսանրից պարամետրերի — հցած կախման բնութեագրերը կառուցելու ժամանակ։
- 5. Էլևկարահաղորդման դժերի ծալրերին լարումների վեկտորհերի միջև հղած ոտերի անկունների հաշվարկման ժամանակ։